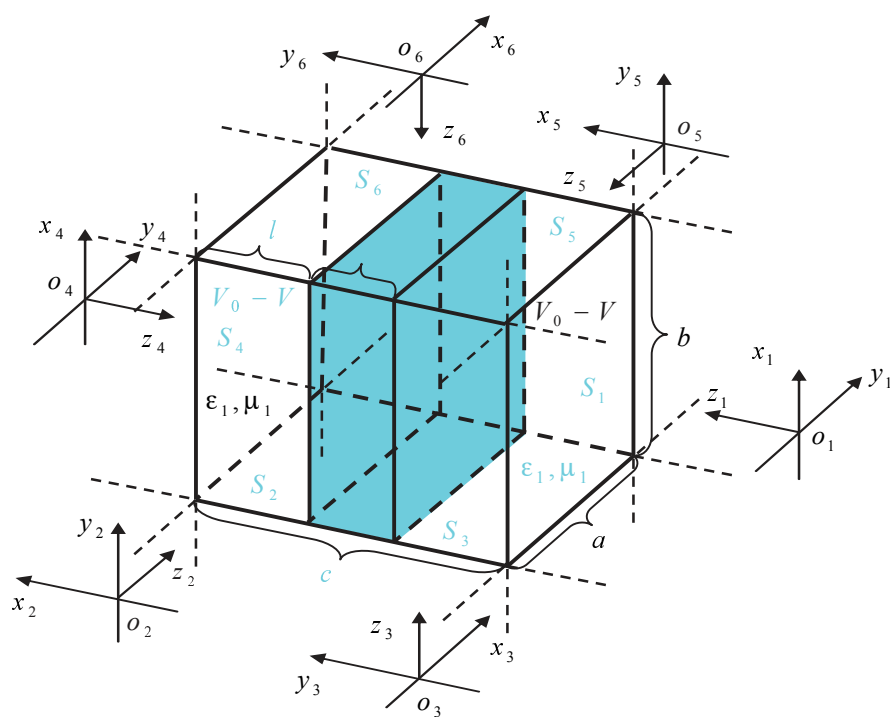


УДК 623.4.055

# МАТЕМАТИЧЕСКОЕ МОДЕЛИРОВАНИЕ ОПТИЧЕСКИХ ФИЛЬТРОВ ФАБРИ-ПЕРО ПРИ НАКЛОННОМ ПАДЕНИИ ЭЛЕКТРОМАГНИТНОЙ ВОЛНЫ

А. Д. Пимкин



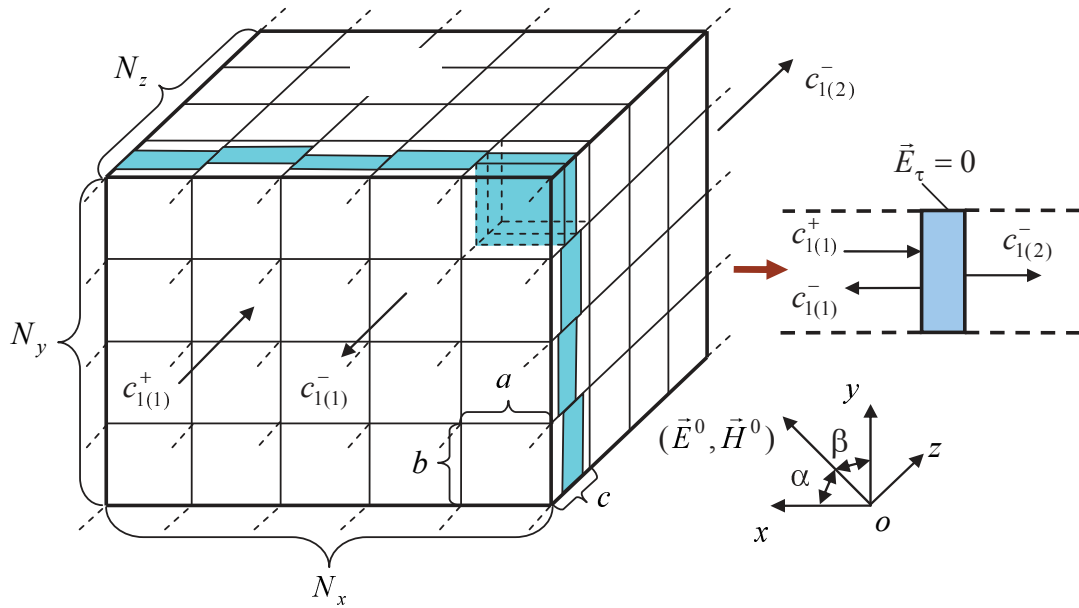


Рис. 2. Модель оптического фильтра с неоднородными диэлектрическими слоями:  $a$  – декомпозиция на автономные блоки;  $b$  – рекомпозиционная модель – виртуальные каналы Флоке автономных блоков;  $(\vec{E}^0, \vec{H}^0)$  – падающая ТЕМ-волна;  $c_{1(1)}^+, c_{1(1)}^-, c_{1(2)}^-$  – амплитуды падающей, отраженной и прошедшей волн в каналах Флоке;  $N_x \times N_y \times N_z$  – количество автономных блоков

Касательные составляющие электрических и магнитных полей на гранях «сшиваемых» параллелепипедов представлены рядами Фурье[1]:

$$\vec{E}_1 = \sum_{l=1}^{\infty} a_{l(1)} \vec{e}_{l(1)}, \vec{H}_1 = \sum_{l=1}^{\infty} b_{l(1)} \vec{h}_{l(1)} \text{ на } S_1; \quad (1)$$

$$\vec{E}_4 = \sum_{l=1}^{\infty} a_{l(4)} \vec{e}_{l(4)}, \vec{H}_4 = \sum_{l=1}^{\infty} b_{l(4)} \vec{h}_{l(4)} \text{ на } S_4. \quad (2)$$

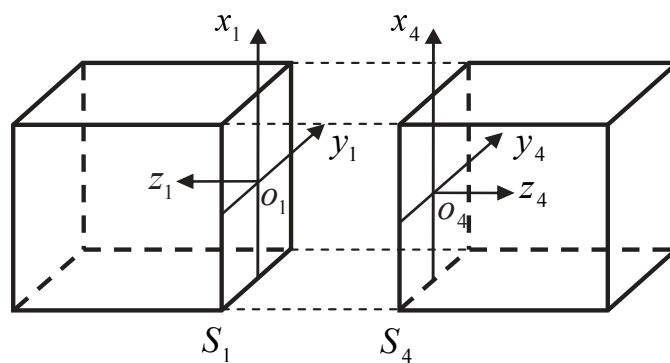


Рис. 3. Рекомпозиция автономных блоков в локальных системах координат на гранях параллелепипедов

Локальные системы координат на гранях  $S_1$  и  $S_4$  (рис. 3) отличаются лишь продольными координатами – они имеют противоположные направления. Положительное направление вектора Пойнтинга для собственных волн канала Флоке в системе координат грани  $S_1$  является отрицательным в системе координат грани  $S_4$ :

$$\vec{e}_{l(1)} \times \vec{h}_{l(1)}^* = -\vec{e}_{l(4)} \times \vec{h}_{l(4)}^*, l=1, 2, \dots \quad (3)$$

Из выражения (3) следует [1]:

$$\vec{e}_{l(1)} = \vec{e}_{l(4)}, \vec{h}_{l(1)} = -\vec{h}_{l(4)}, l = 1, 2, \dots \quad (4)$$

Условия непрерывности касательных составляющих электрического и магнитного полей  $\vec{E}_1 = \vec{E}_4, \vec{H}_1 = \vec{H}_4$  на «сшиваемых» гранях  $S_1$  и  $S_4$ , представленных рядами Фурье (1), (2), с учетом соотношений (4), сводятся к равенству коэффициентов:

$$a_{l(1)} = a_{l(4)}, b_{l(1)} = -b_{l(4)}, l = 1, 2, \dots \quad (5)$$

На «сшиваемых» гранях  $S_1$  и  $S_4$  касательные составляющие электромагнитного поля можно представить также и в виде суперпозиции составляющих прямых и обратных волн каналов Флоке:

$$\vec{E}_1 = \sum_{k=1}^{\infty} (c_{k(1)}^+ + c_{k(1)}^-) \vec{e}_{k(1)}, \vec{H}_1 = \sum_{k=1}^{\infty} (c_{k(1)}^+ - c_{k(1)}^-) \vec{h}_{k(1)}; \quad (6)$$

$$\vec{E}_4 = \sum_{k=1}^{\infty} (c_{k(4)}^+ + c_{k(4)}^-) \vec{e}_{k(4)}, \vec{H}_4 = \sum_{k=1}^{\infty} (c_{k(4)}^+ - c_{k(4)}^-) \vec{h}_{k(4)}. \quad (7)$$

На рис. 4 показан фрагмент рекомпозиции автономных блоков в виде прямоугольных параллелепипедов. Первый автономный блок соединен со вторым, третий блок необходимо соединить с двумя первыми. Составим из клеток многоканальных матриц проводимости  $Y_A$  и  $Y_B$  сводную матрицу  $Y_C$ . Для наглядности будем полагать, что виртуальные каналы Флоке, обозначенные цифрами, остаются несвязанными, а виртуальные каналы Флоке, обозначенные буквами, попарно соединены между собой. Объединение многомодовых объектов  $A, B$  осуществляется по виртуальным каналам Флоке, обозначенным  $\beta$  и  $\gamma$ .

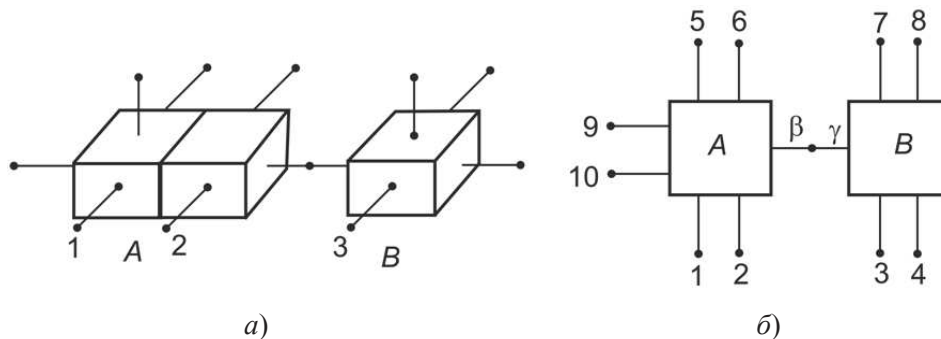


Рис. 4 Рекомпозиция дескрипторов автономных блоков: *a* – фрагмент оптического фильтра; *б* – декомпозиционная схема фрагмента

Представим сводную матрицу  $Y_C$  в виде клеток, разделенных горизонтальными и вертикальными прямыми:

$$Y_C = \begin{array}{cccccc} & \beta & \gamma & 1 & 2 & 3 & \dots \\ \beta & Y^{\beta\beta} & 0 & Y^{\beta 1} & Y^{\beta 2} & 0 & \dots \\ \gamma & 0 & Y^{\gamma\gamma} & 0 & 0 & Y^{\gamma 3} & \dots \\ 1 & Y^{1\beta} & 0 & Y^{11} & Y^{12} & 0 & \dots \\ 2 & Y^{2\beta} & 0 & Y^{21} & Y^{22} & 0 & \dots \\ 3 & 0 & Y^{3\gamma} & 0 & 0 & Y^{33} & \dots \\ \vdots & \dots & \dots & \dots & \dots & \dots & \dots \end{array} \quad (8)$$

Клетки сводной матрицы  $Y_C$ , в которых встречаются сочетания индексов, принадлежащих различным блокам, равны нулю. Совокупность индексов 1, 2, ... обозначим через  $\alpha$ , тогда выражение (8) можно записать более компактно:

$$Y_C = \begin{pmatrix} Y^{\beta\beta} & 0 & Y^{\beta\alpha} \\ 0 & Y^{\gamma\gamma} & Y^{\gamma\alpha} \\ Y^{\alpha\beta} & Y^{\alpha\gamma} & Y^{\alpha\alpha} \end{pmatrix}. \quad (9)$$

На основании (9) в терминах клеточных матриц имеем следующие матричные уравнения:

$$\begin{aligned} b_\beta &= Y^{\beta\beta} \cdot a_\beta + Y^{\beta\alpha} \cdot a_\alpha; \\ b_\gamma &= Y^{\gamma\gamma} \cdot a_\gamma + Y^{\gamma\alpha} \cdot a_\alpha; \\ b_\alpha &= Y^{\alpha\beta} \cdot a_\beta + Y^{\alpha\gamma} \cdot a_\gamma + Y^{\alpha\alpha} \cdot a_\alpha. \end{aligned} \quad (10)$$

Наложим на матричные уравнения условия связи для локальных систем координат граней параллелепипеда (см. рис. 3)  $a_\beta = a_\gamma, b_\beta = -b_\gamma$ , что соответствует непрерывности касательных, составляющих  $\bar{E}_\tau^A = \bar{E}_\tau^B, \bar{H}_\tau^A = \bar{H}_\tau^B$ , на гранях сшивания автономных блоков, и исключим векторы  $a_\beta, a_\gamma, b_\beta, b_\gamma$ . После несложных преобразований имеем

$$b_\alpha = \left( Y^{\alpha\alpha} - (Y^{\alpha\beta} + Y^{\alpha\gamma}) \cdot (Y^{\beta\beta} + Y^{\gamma\gamma})^{-1} \cdot (Y^{\gamma\alpha} + Y^{\beta\alpha}) \right) \cdot a_\alpha. \quad (11)$$

Таким образом, многоканальная и многомодовая матрица проводимости  $Y$ , полученная в результате объединения объектов  $A, B$ , будет определяться как

$$Y = Y^{\alpha\alpha} - (Y^{\alpha\beta} + Y^{\alpha\gamma}) \cdot (Y^{\beta\beta} + Y^{\gamma\gamma})^{-1} \cdot (Y^{\gamma\alpha} + Y^{\beta\alpha}). \quad (12)$$

Процесс рекомпозиции автономных блоков, которые описываются многоканальными и многомодовыми матрицами рассеяния, включает составление сводной матрицы  $R_C$ , структура которой аналогична структуре сводной матрицы  $Y_C$  (9):

$$R_C = \begin{pmatrix} R^{\beta\beta} & 0 & R^{\beta\alpha} \\ 0 & R^{\gamma\gamma} & R^{\gamma\alpha} \\ R^{\alpha\beta} & R^{\alpha\gamma} & R^{\alpha\alpha} \end{pmatrix}. \quad (13)$$

В терминах клеточных матриц имеем следующие матричные уравнения, связывающие падающие и отраженные волны в связанных виртуальных каналах:

$$\begin{aligned} c_\beta^- &= R^{\beta\beta} \cdot c_\beta^+ + R^{\beta\alpha} \cdot c_\alpha^+; \\ c_\gamma^- &= R^{\gamma\gamma} \cdot c_\gamma^+ + R^{\gamma\alpha} \cdot c_\alpha^+; \\ c_\alpha^- &= R^{\alpha\beta} \cdot c_\beta^+ + R^{\alpha\gamma} \cdot c_\gamma^+ + R^{\alpha\alpha} \cdot c_\alpha^+. \end{aligned} \quad (14)$$

На матричные уравнения (14) не наложено никаких условий связи; написанные в развернутой форме эти уравнения, в сущности, распадаются на системы, каждая из которых характеризует объекты  $A, B$ . Наложим на уравнения (14) условия связи  $c_\beta^+ = c_\gamma^-, c_\beta^- = c_\gamma^+$  и исключим из них векторы  $c_\beta^+, c_\beta^-, c_\gamma^+, c_\gamma^-$ . После несложных преобразований имеем

$$R = R^{\alpha\alpha} - (R^{\alpha\beta} \ R^{\alpha\gamma}) \cdot \begin{pmatrix} -R^{\beta\beta} & I \\ I & -R^{\gamma\gamma} \end{pmatrix}^{-1} \cdot \begin{pmatrix} R^{\beta\alpha} \\ R^{\gamma\alpha} \end{pmatrix}. \quad (15)$$

Рекомпозиция дескрипторов автономных блоков, описанных матрицами сопротивления, осуществляется по формуле, аналогичной (12):

$$Z = Z^{\alpha\alpha} + (Z^{\alpha\beta} + Z^{\alpha\gamma}) \cdot (Z^{\beta\beta} - Z^{\gamma\gamma})^{-1} \cdot (Z^{\gamma\alpha} - Z^{\beta\alpha}). \quad (16)$$

Краевое условие  $\vec{E}_\tau = 0$  на гранях автономных блоков при использовании матрицы проводимости является фиксированным – оно не накладывается. Для автономного блока, описанного матрицей сопротивления, фиксированным является краевое условие  $\vec{H}_\tau = 0$ . Получим матричные выражения для наложения не фиксированных краевых условий.

Разделим матрицу проводимости  $Y$  автономного блока горизонтальной и вертикальной линиями на четыре клетки:

$$Y = \begin{array}{cc} & \begin{array}{c} l \\ \alpha \end{array} \\ \begin{array}{c} l \\ \alpha \end{array} & \begin{array}{cc} Y^{ll} & Y^{l\alpha} \\ Y^{\alpha l} & Y^{\alpha\alpha} \end{array} \end{array}. \quad (17)$$

Индексу  $l$  соответствуют грани автономного блока, на которых создается краевое условие  $\vec{H}_\tau = 0$  (магнитная стенка), индексу  $\alpha$  – грани, не подлежащие магнитному закорочению. В клеточных терминах на основании выражения (17) имеем следующие матричные уравнения:

$$\begin{aligned} b_l &= Y^{ll} \cdot a_l + Y^{l\alpha} \cdot a_\alpha; \\ b_\alpha &= Y^{\alpha l} \cdot a_l + Y^{\alpha\alpha} \cdot a_\alpha. \end{aligned} \quad (18)$$

Накладывая на матричные уравнения (18) условие  $b_l = 0$ , что эквивалентно  $\vec{H}_\tau = 0$  на гранях блока, и исключая вектор  $a_l$ , определяем матрицу проводимости автономного блока:

$$Y = Y^{\alpha\alpha} - Y^{\alpha l} \cdot (Y^{ll})^{-1} \cdot Y^{l\alpha}. \quad (19)$$

Для автономного блока, который описывается матрицей сопротивления, для краевого условия  $\vec{E}_\tau = 0$  (электрическая стенка) имеем аналогичное выражение

$$Z = Z^{\alpha\alpha} - Z^{\alpha l} \cdot (Z^{ll})^{-1} \cdot Z^{l\alpha}. \quad (20)$$

Краевые условия  $\vec{E}_\tau = 0$  (электрическая стенка) и  $\vec{H}_\tau = 0$  (магнитная стенка) для автономного блока, который описывается матрицей рассеяния  $R$ , накладываются так же, как и в случае матриц проводимости и сопротивления. При наложении краевых условий  $\vec{H}_\tau = 0$  матрица рассеяния определяется матричным выражением

$$R = R^{\alpha\alpha} + R^{\alpha l} \cdot (I - R^{ll})^{-1} \cdot R^{l\alpha}, \quad (21)$$

при наложении краевых условий  $\vec{E}_\tau = 0$  выражением

$$R = R^{\alpha\alpha} + R^{\alpha l} \cdot (I + R^{ll})^{-1} \cdot R^{l\alpha}. \quad (22)$$

На заключительном этапе матрица проводимости оптического фильтра преобразуется в матрицу рассеяния, из которой определяются коэффициенты отражения и пропускания

$$R = \frac{|c_{1(1)}^-|^2}{|c_{1(1)}^+|^2}, T = \frac{|c_{1(2)}^-|^2}{|c_{1(1)}^+|^2}, (R + T = 1). \quad (23)$$

Падающая волна  $\vec{E}^0, \vec{H}^0$  и с ней поле дифракции подчинены теореме Флоке в форме [2]:

$$\begin{cases} \vec{E}(x+a, y, z) = \vec{E}(x, y, z) \exp(-i\varphi_x) \\ \vec{H}(x+a, y, z) = \vec{H}(x, y, z) \exp(-i\varphi_x) \\ \vec{E}(x, y+b, z) = \vec{E}(x, y, z) \exp(-i\varphi_y) \\ \vec{H}(x, y+b, z) = \vec{H}(x, y, z) \exp(-i\varphi_y) \end{cases}, \quad (24)$$

где  $\varphi_x = \Gamma_n a \cos \alpha$ ,  $\varphi_y = \Gamma_n b \cos \beta$ ;  $\alpha, \beta$  – углы ориентации направления распространения волнового процесса (см. рис. 2). Угол падения  $\theta$  с углами  $\alpha$  и  $\beta$  связан соотношением  $\cos^2 \alpha + \cos^2 \beta + \cos^2 \theta = 1$ . Требованию (24) будет также удовлетворять система скалярных функций  $\{u_{mn}\}$ :

$$u_{mn} = C \exp \left( i \left( \frac{2\pi m + \varphi_x}{a} x + \frac{2\pi n + \varphi_y}{b} y - \Gamma_{mn} z \right) \right), \quad (25)$$

где  $\Gamma_{mn} = \sqrt{\omega^2 \epsilon_0 \mu_0 \epsilon \mu - \chi_{mn}^2} = \sqrt{\omega^2 \epsilon_0 \mu_0 \epsilon \mu - \left( \frac{2\pi m + \varphi_x}{a} \right)^2 - \left( \frac{2\pi n + \varphi_y}{a} \right)^2}$ , являющихся решениями

уравнения Гельмгольца  $\nabla_{\perp}^2 u_{mn} + \chi_{mn}^2 u_{mn} = 0$ .

Построение векторных функций  $\vec{E}_{mn}, \vec{H}_{mn}$  как  $E$ -волны при  $\vec{E}_{mn}^z = \vec{z}_0 u_{mn}$  и как  $H$ -волны при  $\vec{H}_{mn}^z = \vec{z}_0 u_{mn}$  проводилось по следующей методике.

Собственные волны канала Флоке определим из решения краевой задачи для уравнения Максвелла с периодическими условиями на стенках канала. Запишем уравнения Максвелла для гармонических колебаний [2]:

$$\begin{aligned} \text{rot} \vec{H}_m &= i\omega \epsilon_0 \epsilon \vec{E}_m; \\ \text{rot} \vec{E}_m &= -i\omega \mu_0 \mu \vec{H}_m, \end{aligned} \quad (26)$$

где  $\omega = 2\pi f$  – круговая частота колебаний;  $\vec{E}_m, \vec{H}_m$  – амплитуды напряженностей электрического и магнитного полей;  $\epsilon, \mu$  – относительные диэлектрическая и магнитная проницаемости;  $\epsilon_0, \mu_0$  – электрическая и магнитная постоянные.

Уравнения Максвелла (26) в прямоугольной декартовой системе координат имеют следующий вид:

$$\begin{cases} \frac{\partial H_{mz}}{\partial y} - \frac{\partial H_{my}}{\partial z} = i\omega \epsilon_0 \epsilon E_{mx}, & \frac{\partial E_{mz}}{\partial y} - \frac{\partial E_{my}}{\partial z} = -i\omega \mu_0 \mu H_{mx}, \\ \frac{\partial H_{mz}}{\partial x} - \frac{\partial H_{mx}}{\partial z} = -i\omega \epsilon_0 \epsilon E_{my}, & \frac{\partial E_{mz}}{\partial x} - \frac{\partial E_{mx}}{\partial z} = i\omega \mu_0 \mu H_{my}, \\ \frac{\partial H_{my}}{\partial x} - \frac{\partial H_{mx}}{\partial y} = i\omega \epsilon_0 \epsilon E_{mz}; & \frac{\partial E_{my}}{\partial x} - \frac{\partial E_{mx}}{\partial y} = -i\omega \mu_0 \mu H_{mz}; \end{cases} \quad (27)$$

здесь  $E_{mx}, E_{my}, E_{mz}, H_{mx}, H_{my}, H_{mz}$  – соответственно компоненты векторов электрического и магнитного полей  $\vec{E}_m$  и  $\vec{H}_m$ .

Решение уравнений Максвелла (27) для бесконечно протяженного канала Флоке будем искать в виде плоской неоднородной волны [2]:

$$\vec{E}_m = \vec{E}(x, y) \exp(-i\Gamma z), \quad \vec{H}_m = \vec{H}(x, y) \exp(-i\Gamma z), \quad (28)$$

где  $\vec{E}(x, y), \vec{H}(x, y)$  – функции, характеризующие распределение электромагнитного поля на поперечном сечении канала Флоке;  $\Gamma$  – постоянная распространения волны в канале Флоке. Внося выражения (28) в системы уравнений (27), имеем

$$\begin{cases} \frac{\partial E_z}{\partial y} + i\Gamma E_y = -i\omega\mu_0\mu H_x, & \frac{\partial H_z}{\partial y} + i\Gamma H_y = i\omega\varepsilon_0\varepsilon E_x, \\ \frac{\partial E_z}{\partial x} + i\Gamma E_x = i\omega\mu_0\mu H_y, & \frac{\partial H_z}{\partial x} + i\Gamma H_x = -i\omega\varepsilon_0\varepsilon E_y, \\ \frac{\partial E_y}{\partial x} - \frac{\partial E_x}{\partial y} = -i\omega\mu_0\mu H_z; & \frac{\partial H_y}{\partial x} - \frac{\partial H_x}{\partial y} = i\omega\varepsilon_0\varepsilon E_z, \end{cases} \quad (29)$$

где  $E_x, E_y, E_z, H_x, H_y, H_z$  – соответственно компоненты векторов  $\vec{E}(x, y)$  и  $\vec{H}(x, y)$ .

В уравнениях (29) поперечные компоненты  $E_x, E_y, H_x, H_y$  можно выразить через продольные, т.е.  $E_z, H_z$ . Действительно, первая строка в левом столбце и вторая в правом – это система линейных алгебраических уравнений относительно  $E_y$  и  $H_x$ , а вторая строка в левом столбце и первая в правом – такая же система относительно  $E_x$  и  $H_y$ . Запишем решения этих алгебраических систем:

$$\begin{aligned} E_x &= -\frac{i\Gamma}{\chi^2} \frac{\partial E_z}{\partial x} - \frac{i\omega\mu_0\mu}{\chi^2} \frac{\partial H_z}{\partial y}; & H_x &= \frac{i\omega\varepsilon_0\varepsilon}{\chi^2} \frac{\partial E_z}{\partial y} - \frac{i\Gamma}{\chi^2} \frac{\partial H_z}{\partial x}; \\ E_y &= -\frac{i\Gamma}{\chi^2} \frac{\partial E_z}{\partial y} + \frac{i\omega\mu_0\mu}{\chi^2} \frac{\partial H_z}{\partial x}; & H_y &= -\frac{i\omega\varepsilon_0\varepsilon}{\chi^2} \frac{\partial E_z}{\partial x} - \frac{i\Gamma}{\chi^2} \frac{\partial H_z}{\partial y}. \end{aligned} \quad (30)$$

Полученным выражениям (30) можно придать более компактный вид. Обозначая поперечные составляющие части векторов  $\vec{E}(x, y), \vec{H}(x, y)$  символами  $\vec{E}_t, \vec{H}_t$ :

$$\vec{E}_t = E_x \vec{i} + E_y \vec{j}; \quad \vec{H}_t = H_x \vec{i} + H_y \vec{j},$$

находим

$$\vec{E}_t = -\frac{i\Gamma}{\chi^2} \nabla_{\perp} \vec{E}_z - \frac{i\omega\mu_0\mu}{\chi^2} \text{rot}_{\perp} \vec{H}_z; \quad \vec{H}_t = \frac{i\omega\varepsilon_0\varepsilon}{\chi^2} \text{rot}_{\perp} \vec{E}_z - \frac{i\Gamma}{\chi^2} \nabla_{\perp} \vec{H}_z, \quad (31)$$

где  $\chi^2 = \omega^2 \varepsilon_0 \mu_0 \mu - \Gamma^2$ ;  $\nabla$  – оператор Лапласа;  $\perp$  – символ, который обозначает, что операция производится по координатам, лежащим в поперечной плоскости  $z = \text{const}$ ,  $\vec{E}_z = E_z \vec{k}, \vec{H}_z = H_z \vec{k}$ ;  $\vec{i}, \vec{j}, \vec{k}$  – единичные орты, направленные соответственно вдоль координатных осей  $ox, oy, oz$ .

Поперечные компоненты электромагнитного поля плоской неоднородной волны состоят из двух частей (31), одна из которых обращается в нуль вместе с компонентой  $\vec{E}_z$ , а другая – с  $\vec{H}_z$ . Частный класс плоских неоднородных волн составляют такие, которые лишены продольной компоненты  $H_z = 0$ . Такие волны называются  $E$ -волнами (электрическими волнами) [2].

Положив в выражениях (31)  $H_z = 0$ , с учетом выражений (28) получаем следующие выражения для векторов поля для волн этого класса:

$$\begin{cases} \vec{E}_m = \left( \vec{E}_z - \frac{i\Gamma}{\chi^2} \nabla_{\perp} \vec{E}_z \right) \exp(-i\Gamma z); \\ \vec{H}_m = \frac{i\omega\varepsilon_0\varepsilon}{\chi^2} \text{rot}_{\perp} \vec{E}_z \exp(-i\Gamma z), \end{cases} \quad (32)$$

Другой частный класс образуют плоские неоднородные волны без продольной электрической компоненты  $E_z = 0$ . Такие волны называются  $H$ -волнами (магнитные волны) [2]. Взяв в выражениях (31)  $E_z = 0$ , получаем

$$\begin{cases} \vec{E}_m = \frac{i\omega\mu_0\mu}{\chi^2} \text{rot}_{\perp} \vec{H}_z \exp(-i\Gamma z); \\ \vec{H}_m = \left( \vec{H}_z - \frac{i\Gamma}{\chi^2} \nabla_{\perp} \vec{H}_z \right) \exp(-i\Gamma z). \end{cases} \quad (33)$$

Третий частный класс включает чисто поперечные волны  $E_z = 0$ ,  $H_z = 0$ , которые называются  $TEM$ -волнами (поперечно-электромагнитные) [2]. Из выражений (31) видно, что если  $E_z = 0$  и  $H_z = 0$ , то при  $\chi^2 \neq 0$  обращаются в нуль все компоненты поля, а это значит, что  $TEM$ -волны не существуют. Однако данный запрет снимается при  $\chi^2 \neq 0$ , поскольку выражения всех поперечных компонент становятся при этом неопределенностями вида  $\frac{0}{0}$ , где 0 – бесконечно малые величины.

Поле  $TEM$ -волны можно рассматривать как предельный случай  $E$ -волны при  $E_z \rightarrow 0$ ,  $\chi \rightarrow 0$  или  $H$ -волны при  $H_z \rightarrow 0$ ,  $\chi \rightarrow 0$ . Поэтому для  $TEM$ -волн на основании выражений (32) и (33) имеем следующие выражения:

$$\begin{cases} \vec{E}_m = \nabla_{\perp} \varphi \exp(-i\Gamma z); \\ \vec{H}_m = \sqrt{\frac{\epsilon_0 \epsilon}{\mu_0 \mu}} (\vec{k} \times \nabla_{\perp} \varphi) \exp(-i\Gamma z), \end{cases} \quad (34)$$

где  $\varphi = \lim_{E_z \rightarrow 0, \chi \rightarrow 0} \frac{-i\Gamma}{\chi^2} E_z$ ,

$$\begin{cases} \vec{E}_m = \sqrt{\frac{\mu_0 \mu}{\epsilon_0 \epsilon}} (\nabla_{\perp} \psi \times \vec{k}) \exp(-i\Gamma z); \\ \vec{H}_m = \nabla_{\perp} \psi \exp(-i\Gamma z); \end{cases} \quad (35)$$

здесь  $\psi = \lim_{H_z \rightarrow 0, \chi \rightarrow 0} \frac{-i\Gamma}{\chi^2} H_z$ .

Преобразуем уравнения Максвелла (26). Применяя операцию  $\text{rot}$  к первому уравнению и подставляя в него второе уравнение, имеем

$$\text{rot} \text{rot} \vec{H}_m = \omega^2 \epsilon_0 \epsilon \mu_0 \mu \vec{H}_m. \quad (36)$$

Используя дифференциальные формулы векторного анализа [4], из уравнения (36) получаем

$$\text{grad} \text{div} \vec{H}_m - \nabla^2 \vec{H}_m = \omega^2 \epsilon_0 \mu_0 \epsilon \mu \vec{H}_m. \quad (37)$$

Применяя операцию  $\text{div}$  ко второму уравнению Максвелла и используя дифференциальные формулы векторного анализа [4], имеем

$$\text{div} \vec{H}_m = 0. \quad (38)$$

С учетом выражения (38) уравнение (37) имеет вид

$$\nabla^2 \vec{H}_m + \omega^2 \epsilon_0 \mu_0 \epsilon \mu \vec{H}_m = 0. \quad (39)$$

Дифференциальное уравнение (39) является уравнением электродинамики второго порядка. Аналогично можно получить дифференциальное уравнение второго порядка относительно  $\vec{E}_m$ :

$$\nabla^2 \vec{E}_m + \omega^2 \epsilon_0 \mu_0 \epsilon \mu \vec{E}_m = 0. \quad (40)$$



Подставляя выражения (28) для плоских неоднородных волн в выражения (39) и (40), получаем двумерные векторные уравнения Гельмгольца

$$\begin{aligned}\nabla_{\perp}^2 \vec{E}(x, y) + \chi^2 \vec{E}(x, y) &= 0; \\ \nabla_{\perp}^2 \vec{H}(x, y) + \chi^2 \vec{H}(x, y) &= 0,\end{aligned}\quad (41)$$

где  $\chi^2 = \omega^2 \epsilon_0 \mu_0 \epsilon \mu - \Gamma^2$ , которые применяются при изучении электромагнитных волн в волновых каналах Флоке. Каждое из векторных уравнений (41) эквивалентно трем скалярным относительно  $E_x, E_y, E_z$  и  $H_x, H_y, H_z$ . Поперечные компоненты волн  $E_x, E_y, H_x, H_y$  определяются через продольные  $E_z, H_z$ . Сформулируем и решим краевые задачи для уравнений Гельмгольца относительно  $E_z, H_z$ . Используя формулы (32)–(35), определим поперечные компоненты волн  $E_x, E_y, H_x, H_y$ .

Краевая задача для определения  $E_z$  формулируется в виде [5]

$$\begin{cases} \frac{\partial^2 E_z(x, y)}{\partial x^2} + \frac{\partial^2 E_z(x, y)}{\partial y^2} + \chi^2 E_z(x, y) = 0 \\ E_z\left(-\frac{a}{2}, y\right) = E_z\left(\frac{a}{2}, y\right); E_z\left(x, -\frac{b}{2}\right) = E_z\left(x, \frac{b}{2}\right); \end{cases}\quad (42)$$

Решение краевой задачи (42) имеет вид [4]

$$E_z = E_z^{mn} = E_0 \exp\left(i\left(\frac{2\pi m}{a}x + \frac{2\pi n}{b}y\right)\right); \quad (43)$$

$$\chi^2 = \chi_{mn}^2 = \left(\frac{2\pi m}{a}\right)^2 + \left(\frac{2\pi n}{b}\right)^2, \quad m = 0, \pm 1, \pm 2, \dots; n = 0, \pm 1, \pm 2, \dots$$

где  $E_0$  – неопределенный амплитудный коэффициент;  $E_z^{mn}$  – собственные функции задачи (42);  $\chi_{mn}^2$  – собственные значения, т.е. значения параметра  $\chi^2$  в выражениях (42), при которых реализуются решения. Они составляют бесконечное множество, причем каждая из функций  $E_z^{mn}$  характеризует распределение продольной компоненты вектора  $\vec{E}$  той или иной собственной волны на поперечном сечении канала Флоке. Подставляя выражения (43) в систему уравнений (32), получаем компоненты поля  $E$ -волн прямоугольного канала Флоке

$$\begin{cases} E_{mn}^z = E_0 \exp\left(i\left(\frac{2\pi m}{a}x + \frac{2\pi n}{b}y\right)\right) \exp(-i\Gamma z); \\ E_{mn}^x = E_0 \frac{\Gamma}{\chi^2} \frac{2\pi m}{a} \exp\left(i\left(\frac{2\pi m}{a}x + \frac{2\pi n}{b}y\right)\right) \exp(-i\Gamma z); \\ E_{mn}^y = E_0 \frac{\Gamma}{\chi^2} \frac{2\pi n}{b} \exp\left(i\left(\frac{2\pi m}{a}x + \frac{2\pi n}{b}y\right)\right) \exp(-i\Gamma z); \\ H_{mn}^x = -E_0 \frac{\omega \epsilon_0 \epsilon}{\chi^2} \frac{2\pi n}{b} \exp\left(i\left(\frac{2\pi m}{a}x + \frac{2\pi n}{b}y\right)\right) \exp(-i\Gamma z); \\ H_{mn}^y = -E_0 \frac{\omega \epsilon_0 \epsilon}{\chi^2} \frac{2\pi m}{a} \exp\left(i\left(\frac{2\pi m}{a}x + \frac{2\pi n}{b}y\right)\right) \exp(-i\Gamma z); \end{cases}\quad (44)$$

где  $\Gamma = \Gamma_{mn} = \sqrt{\omega^2 \epsilon_0 \mu_0 \epsilon \mu - \left(\frac{2\pi m}{a}\right)^2 - \left(\frac{2\pi n}{b}\right)^2}$  – постоянная распространения  $E$ -волны.

На основании системы уравнений (34) при  $m = 0, n \rightarrow 0$  или  $n = 0, m \rightarrow 0$  поле  $E$ -волны переходит в поле  $TEM$ -волны. Например, при  $n = 0, m \rightarrow 0$  поле  $TEM$ -волны имеет следующую структуру:

$$\begin{cases} E_{mx} = E_0 \Gamma \exp(-i\Gamma z); \\ E_{my} = E_0 \omega \epsilon_0 \epsilon \exp(-i\Gamma z); \end{cases}$$

где  $\Gamma = \omega \sqrt{\epsilon_0 \mu_0 \epsilon \mu}$ .

Краевая задача для определения  $H_z$  формулируется в виде

$$\begin{cases} \frac{\partial^2 H_z(x, y)}{\partial x^2} + \frac{\partial^2 H_z(x, y)}{\partial y^2} + \chi^2 H_z(x, y) = 0 \\ H_z\left(-\frac{a}{2}, y\right) = H_z\left(\frac{a}{2}, y\right); H_z\left(x, -\frac{b}{2}\right) = H_z\left(x, \frac{b}{2}\right). \end{cases}$$

Решение краевой задачи имеет вид [6]

$$H_z = H_z^{mn} = H_0 \exp\left(i\left(\frac{2\pi m}{a}x + \frac{2\pi n}{b}y\right)\right); \quad (45)$$

$$\chi^2 = \chi_{mn}^2 = \left(\frac{2\pi m}{a}\right)^2 + \left(\frac{2\pi n}{b}\right)^2, \quad m = 0, \pm 1, \pm 2, \dots; n = 0, \pm 1, \pm 2, \dots$$

Подставляя выражения (45) в систему уравнений (33), получаем компоненты поля  $H$ -волн прямоугольного канала Флоке

$$\begin{cases} H_z^{mn} = H_0 \exp\left(i\left(\frac{2\pi m}{a}x + \frac{2\pi n}{b}y\right)\right) \exp(-i\Gamma z); \\ H_{mn}^x = H_0 \frac{\Gamma}{\chi^2} \frac{2\pi m}{a} \exp\left(i\left(\frac{2\pi m}{a}x + \frac{2\pi n}{b}y\right)\right) \exp(-i\Gamma z); \\ H_{mn}^y = H_0 \frac{\Gamma}{\chi^2} \frac{2\pi n}{b} \exp\left(i\left(\frac{2\pi m}{a}x + \frac{2\pi n}{b}y\right)\right) \exp(-i\Gamma z); \\ E_{mn}^x = H_0 \frac{\omega \epsilon_0 \epsilon}{\chi^2} \frac{2\pi n}{b} \exp\left(i\left(\frac{2\pi m}{a}x + \frac{2\pi n}{b}y\right)\right) \exp(-i\Gamma z); \\ E_{mn}^y = -H_0 \frac{\omega \epsilon_0 \epsilon}{\chi^2} \frac{2\pi m}{a} \exp\left(i\left(\frac{2\pi m}{a}x + \frac{2\pi n}{b}y\right)\right) \exp(-i\Gamma z); \end{cases} \quad (46)$$

где  $\Gamma = \Gamma_{mn} = \sqrt{\omega^2 \epsilon_0 \mu_0 \epsilon \mu - \left(\frac{2\pi m}{a}\right)^2 - \left(\frac{2\pi n}{b}\right)^2}$  – постоянная распространения  $H$ -волны.

Выражения (44) и (46) являются собственными волнами прямоугольного канала Флоке с краевыми условиями (рис. 5):

$$\begin{aligned} \bar{E}\left(-\frac{a}{2}, y\right) &= \bar{E}\left(-\frac{a}{2}, y\right) \exp(-i\varphi_x), \quad \bar{H}\left(-\frac{a}{2}, y\right) = \bar{H}\left(-\frac{a}{2}, y\right) \exp(-i\varphi_x), \\ \bar{E}\left(x, -\frac{b}{2}\right) &= \bar{E}\left(x, \frac{b}{2}\right) \exp(-i\varphi_y), \quad \bar{H}\left(x, -\frac{b}{2}\right) = \bar{H}\left(x, \frac{b}{2}\right) \exp(-i\varphi_y). \end{aligned} \quad (47)$$

На рис. 6 показана расчетная и экспериментальная спектральная характеристика коэффициента пропускания одиннадцатислойного узкополосного фильтра  $\alpha$ -Si/SiO<sub>2</sub>. Конструкция выбра-

на с  $\lambda/2$ -низкопреломляющим слоем внутри набора из четвертьволновых чередующихся слоев с высоким и низким показателем преломления, т.е. структура представляла собой фильтр Фабри–Перо. У такого фильтра коэффициент отражения высок, а коэффициент пропускания мал для всех длин волн, кроме узкого диапазона.

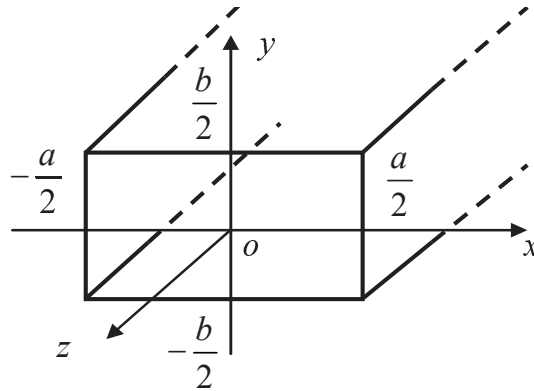


Рис. 5. Прямоугольный канал Флоке:  $a, b$  – размеры волновода

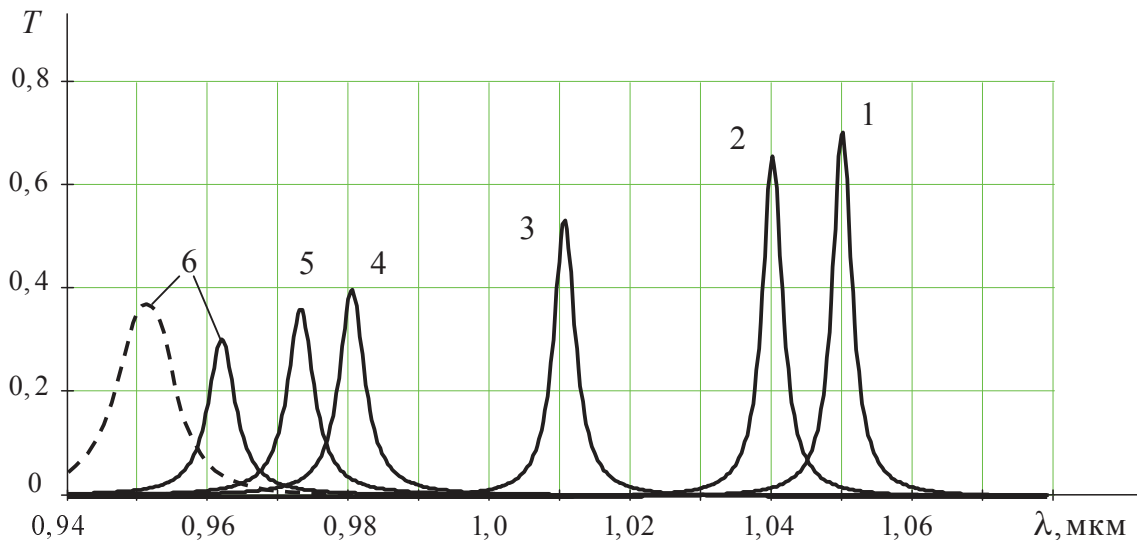


Рис. 6. Угловая зависимость коэффициента  $T$  пропускания одиннадцатислойного узкополосного фильтра  $\alpha$ -Si/SiO<sub>2</sub>: кривая 1 –  $\theta = 0^\circ$ ; 2 –  $\theta = 15^\circ$ ; 3 –  $\theta = 30^\circ$ ; 4 –  $\theta = 40^\circ$ ; 5 –  $\theta = 42^\circ$ ; 6 –  $\theta = 45^\circ$ ; здесь: — – одномерная электродинамическая модель; - - - - эксперимент [6];  $nd = \lambda/4 = 0,2625$  мкм

Наиболее широко распространенная технология изготовления диэлектрических покрытий оптического фильтра – электронно-лучевое испарение, которое на длину покрытия  $\Delta L = 300$  нм дает отклонение от расчетных значений толщины покрытия порядка  $Z_{\max} = 3 \dots 5$  нм. Это и является основной причиной расхождения экспериментальных результатов с теоретическими результатами.

На рис. 7 показаны реализации случайного коэффициента пропускания одиннадцатислойного узкополосного фильтра  $\alpha$ -Si/SiO<sub>2</sub> при среднеквадратичных отклонениях толщины диэлектрических покрытий  $\sigma_{h_i} = \sigma_{l_i} = 4$  нм. Реализации получены с помощью трехмерной электродинамической модели. Резонансные длины волн являются случайными величинами. В результате статистической обработки по 20 реализациям получены следующие результаты.

Математическое ожидание значения резонансной длины волны равно  $\lambda_{\text{рез}}^M = 0,961$  мкм, среднеквадратичное отклонение  $\sigma_{\lambda_{\text{рез}}} = 0,0073$  мкм. Эти результаты согласуются с экспериментальными и теоретическими результатами, показанными на рис. 6.

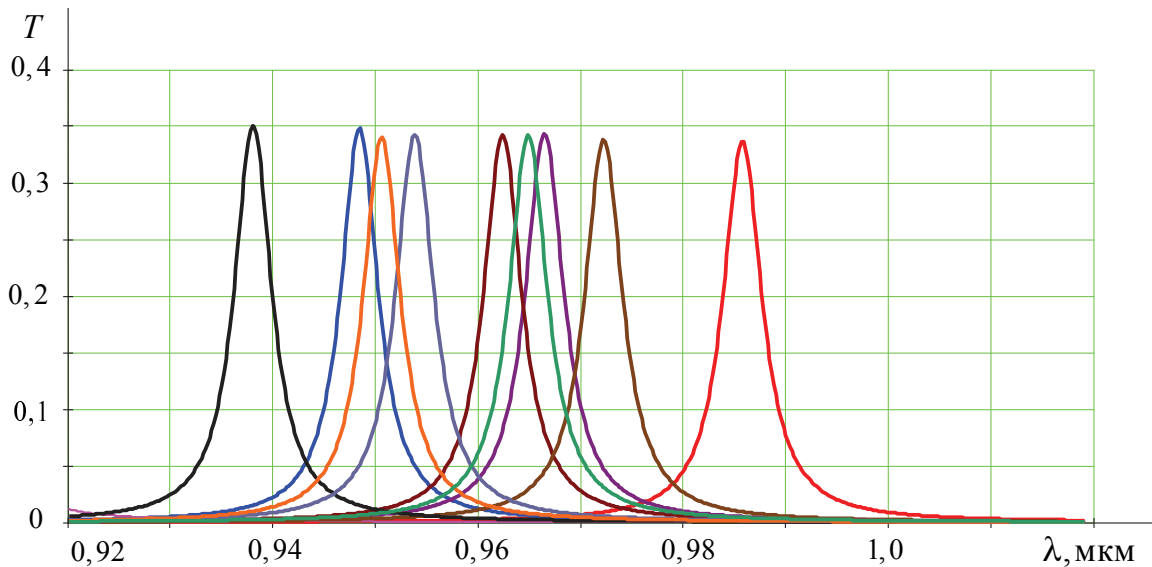


Рис. 7. Реализации случайного коэффициента пропускания одиннадцатислойного узкополосного фильтра:  $\theta = 45^\circ$ ;  $\sigma_{h_i} = \sigma_{l_i} = 4$  нм

### Список литературы

1. Никольский, В. В. Электродинамика и распространение радиоволн / В. В. Никольский, Т. И. Никольская. – М. : Наука, 1989. – 544 с.
2. Никольский, В. В. Проекционный метод для незамкнутых электродинамических систем / В. В. Никольский // Радиотехника и электроника. – 1971. – Т. 16, № 8. – С. 1342.
3. Чиркина, М. А. Математическое моделирование устройств сверхвысоких частот на магнитных наноконструкциях / М. А. Чиркина, Н. К. Юрков, А. Н. Якимов // Известия высших учебных заведений. Поволжский регион. Технические науки. – 2011. – № 11. – С. 166–175.
4. Корн, Г. Справочник по математике / Г. Корн, Т. Корн. – М. : Наука, 1974. – 701 с.
5. Тихонов, А. Н. Уравнения математической физики / А. Н. Тихонов, А. А. Самарский. – М. : Наука, 1972. – 437 с.
6. Ершов, А. В. Многослойные оптические покрытия / А. В. Ершов, А. И. Машин. – Нижний Новгород, 2006. – 99 с.

УДК 623.4.055

Пимкин, А. Д.

Математическое моделирование оптических фильтров Фабри–Перо при наклонном падении электромагнитной волны / А. Д. Пимкин // Надежность и качество сложных систем. – 2013. – № 2. – С. 27–39.

Пимкин Александр Дмитриевич

заместитель командира,  
в/ч 38994,  
Москва, Кремль, 9

**Аннотация.** Предложена математическая модель дифракции плоской однородной электромагнитной волны на двумерно периодической структуре под произвольным углом. Разработана методика преобразования матрицы проводимости на примере интерференционного фильтра Фабри–Перо в базисе каналов Флоке автономных блоков. Для определения коэффициентов отражения и пропускания фильтра дано математическое описание процедуры пре-

A. Pimkin

deputy commander,  
VCh 38994,  
Moscow, the Kremlin, 9

**Abstract.** A mathematical model of the diffraction of a plane electromagnetic wave on a uniform two-dimensional periodic structure at an arbitrary angle. The technique of pre-form a matrix of conductivity on the example of interference filter Fabry-Perot in the basis of channels Floquet autonomous units. To determine the reflection and transmission coefficients filter gives a mathematical description of Procedure of the transformation matrix of the conductivity in the scattering ma-

образования матрицы проводимости в матрицу рассеяния. Полученные расчетные спектральные характеристики коэффициентов пропускания одиннадцатислойного узкополосного фильтра Фабри–Перо имеют удовлетворительную сходимость с экспериментальными данными.

**Ключевые слова:** интерференционный фильтр Фабри–Перо, плоская однородная электромагнитная волна, дифракция, математическое моделирование, коэффициенты отражения и пропускания.

trix. Obtained calculated the spectral characteristics of the transmittance odinnadtsatisloynogo narrowband filter Fabry-Perot have satisfactory agreement with the experimental data

**Key words:** interference filter Fabry-Perot plane homogeneous electromagnetic wave diffraction, mathematical modeling, reflection and transmission coefficients.